

Heizspannung	V_f	= 4,0 V
Tension de chauffage		
Filament voltage		
Heizstrom		ca.
Courant de chauffage	I_f	= env. 1,1 A
Filament current		appr.
Anodenspannung		
Tension anodique	V_a	= 200 V
Anode voltage		
Steilheit (max.)		
Inclinaison (max.)	$S_{\text{max.}}$	= 3,0 mA/V
Slope (max.)		
Schirmgitterspannung		
Tension de grille-écran	V_g'	= 33 V
Screen-grid voltage		
Normaler Anodenstrom		
Courant anodique normal	I_a	= 0,35 mA
Normal anode current		
Neg. Gittervorspannung		
Polarisation négative de grille	V_g	= ca. env. 2,3 V
Negative grid bias		appr.
Verstärkungsfaktor		
Coefficient d'amplification	$g(k)$	= 1000
Amplification factor		
Innerer Widerstand		
Résistance intérieure	R_i	= 2,5 M. Ohm
Internal resistance		
Schirmgitterspannung		
Tension de grille-écran	V_g'	= 45 V
Screen-grid voltage		
Normaler Anodenstrom		
Courant anodique normal	I_a	= 0,9 mA
Normal anode current		
Neg. Gittervorspannung		
Polarisation négative de grille	V_g	= ca. env. 2,3 V
Negative grid bias		appr.
Verstärkungsfaktor		
Coefficient d'amplification	$g(k)$	= 800
Amplification factor		
Innerer Widerstand		
Résistance intérieure	R_i	= 1,0 M. Ohm
Internal resistance		
Anoden-Gitterkapazität		
Capacité grille-plaque	C_{ag}	= 0,003 $\mu\mu F$
Anode-grid capacity		
Max. Länge	l	= 130 mm
Longueur max.		
Overall length		
Grösster Durchmesser	d	= 51 mm
Diamètre max.		
Max. diameter		
Sockel		
Culot		= B 35
Base		
Sockelschaltung		
Connexion du culot		= S XV
Base connection		
Anwendung: Diodengleichrichtung und N.F.-Verstärkung		
Application: Détection par diode et amplification b.f.		
Function: Rectifying at diode and l.f. amplification		

PHILIPS
MINIWATT
E 444

$$V_f = 4,0 \text{ V}$$

$$V_{a\max} = 200 \text{ V}$$

$$S_{\max} = 3,0 \text{ mA/V}$$

$$C_{ag} = 0,003 \mu\mu\text{F}$$

$I_a (\text{mA})$ 6

5

4

3

2

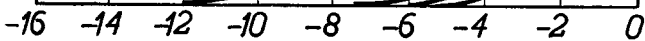
1

$$R_a = 20000 \Omega, V_g' = 90 \text{ V}$$

$$R_a = 60000 \Omega, V_g' = 55 \text{ V}$$

$$R_a = 100000 \Omega, V_g' = 45 \text{ V}$$

$$R_a = 300000 \Omega, V_g' = 33 \text{ V}$$



PHILIPS „MINIWATT“

Max. Anodenspannung	V_{ao}	= 400 V
Tension anodique max.	V_{aR}	= 250 V
Max. anode voltage	V_{aL}	= 200 V
Max. Anodenbelastung	W_a	= 1,0 W
Dissipation anodique max.		
Max. anode dissipation		
Max. Kathodenstrom	I_c	= 10 mA
Courant cathodique max.		
Max. cathode current		
Max. Schirmgitterspannung	$V_{g/o}$	= 300 V
Tension de grille-écran max.		
Max. screen-grid voltage	$V_g^/$	= V_a -50 V max. 150 V
Max. Schirmgitterbelastung	$W_g^/$	= 0,25 W
Dissipation de grille-écran max.		
Max. screen-grid dissipation		
Mittlerer Schirmgitterstrom	$I_g^/$	= 0,5 mA*)
Courant de grille-écran moyen		
Average screen-grid current		
Gitterstrom-Einsatzpunkt	V_{gi}	= -1,3 V
Point de commenç. du courant de grille		
Starting point of grid current		
Max. Hilfsanodenspannung	$V_{a'}$ max	= 20 V
Tension anodique auxiliaire max.		
Max. auxiliary anode voltage		
Max. Hilfsanodenstrom	$I_{a'}$ max	= 0,5 mA
Courant anodique auxiliaire max.		
Max. auxiliary anode current		
Max. Widerstand im Gitterkreis	R_{g1}	= 2 M.Ohm
Résistance max. dans le circuit de grille	R_{g2}	= 1 M.Ohm
Max. resistance in grid circuit		
Max. Spann. zwischen Faden und Kath.	V_{fc}	= 50 V
Tension max. entre filament et cathode		
Max. voltage between filam. and cathode		
Max. Widerst. zwischen Faden und Kath.	R_{fc}	= 20000 Ohm
Résist. max. entre filament et cathode		
Max. resist. betw. filament and cathode		
Kapazitäten	C_g	= 12 $\mu\mu F$
Capacités	C_a	= 6,8 $\mu\mu F$
Capacities	C_{ag}	= 0,003 $\mu\mu F$

*) Gemessen bei $\left\{ \begin{array}{l} V_a = 200 \text{ V} \\ V_g^/ = 90 \text{ V} \\ R_a = 0,02 \text{ M.Ohm} \\ I_a = 3,3 \text{ mA} \end{array} \right.$
 Mesuré pour
 Measured at

I_a (mA)

